

Рис. 1.

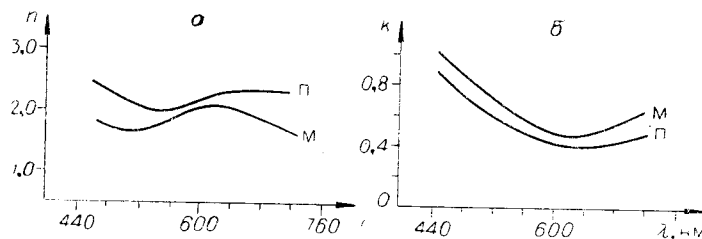


Рис. 2.

Таким образом, результаты настоящей работы показывают, что для оптической записи информации в видимой области спектра интерес представляют пленки двуокиси ванадия, содержащие примесь трехокиси этого металла. Наибольший контраст записанного изображения на этих пленках будет иметь место вблизи длины волны 760 нм.

#### ЛИТЕРАТУРА

- Борисов Б. С. и др. Электрические и оптические свойства  $\text{VO}_2$  при фазовом переходе полупроводник — полуметалл. — ФТГ, 1970, т. 12, № 8.
- Verleur H. W., Barker A. S., Berglund C. N. Optical Properties of  $\text{VO}_2$  between 0,25 and 5 eV. — Phys. Rev., 1968, vol. 172, N 3, p. 788—798.
- Мокроусов В. В., Чирков В. Г. О получении тонких пленок двуокиси ванадия катодным реактивным распылением и исследовании их электрических свойств. — В кн.: Труды МЭИ. Полупроводниковые приборы. Вып. 142. М.: изд. МЭИ, 1972, с. 96—101.
- Anderson G. Studies on Vanadium Oxides. II. The Crystal Structure of Vanadium Dioxide. — Acta Chem. Scand., 1956, vol. 10, p. 623—628.
- Клечковская В. В., Хитрова В. И. Исследование фазообразования в тонких пленках V. — В кн.: Строение, свойства и применение металлидов. М.: Наука, 1974, с. 153—158.
- Ryabova L. A., Serbinov I. A., Darevsky A. S. Preparation and Properties of Pyrolysis of Vanadium Oxide Films. — J. Electrochem. Soc., 1972, vol. 119, p. 427—429.
- Горшков М. М. Эллипсометрия. М.: Сов. радио, 1974.
- Сербинов И. А., Канаев И. Ф., Малиновский В. К., Рябова Л. А. Оптические свойства пиролитических пленок  $\text{VO}_2$ . — Микроэлектроника, 1973, т. 2, № 6.

Поступило в редакцию 22 декабря 1980 г.

УДК 621.396

Д. И. БИЛЕНКО, В. А. ЛОДГАУЗ, И. И. ЛЯСКОВСКИЙ  
(Саратов)

#### РАЗРЕШАЮЩАЯ СПОСОБНОСТЬ НОСИТЕЛЕЙ ИНФОРМАЦИИ НА ОСНОВЕ МАТЕРИАЛОВ С ФАЗОВЫМ ПЕРЕХОДОМ МЕТАЛЛ — ПОЛУПРОВОДНИК

Сильная зависимость коэффициентов отражения и пропускания от температуры в области фазового перехода металла — полупроводник (ФПМП), наблюдаемая, например, в двуокиси ванадия, в сочетании с памятью воздействия позволяет применять

материалы с ФПМП в качестве реверсивных сред для записи и хранения информации.

Особенностью материалов с ФПМП является гистерезисный характер температурных зависимостей оптических свойств. Поэтому при расчете разрешающей способности должно быть учтено, что вид температурных зависимостей оптических свойств определяется направлением изменения температуры (нагрев или остывание) и абсолютным значением температуры, начиная с которой меняется направление.

Контрастность и разрешающая способность носителей информации по выходным свойствам (коэффициентам отражения и пропускания) связаны с температурным растеканием в структуре и, следовательно, с температурной частотно-контрастной характеристикой (ЧКХ).

Температурная ЧКХ носителей информации на основе материалов с ФПМП может быть найдена решением уравнения температуропроводности

$$\frac{\partial \Theta(x, t)}{\partial t} = a \frac{\partial^2 \Theta(x, t)}{\partial x^2} + \frac{\psi(x, t)}{c\rho} \quad (1)$$

при задании на входе системы импульсной косинусоидальной возбуждающей функции

$$\psi(x, t) = \begin{cases} \psi_0(1 - \cos 2\pi v x), & 0 < t \leq t_0; \\ 0, & t > t_0. \end{cases}$$

Здесь  $\Theta(x, t)$  — температура, избыточная над температурой термостабилизации,  $a$  — коэффициент температуропроводности,  $c$  — удельная теплоемкость,  $\rho$  — плотность,  $v$ ,  $\psi_0$  — пространственная частота и средний уровень плотности записи,  $t_0$  — длительность импульса.

Расчет проводился в следующих предположениях: время  $t$  от начала импульса достаточно мало, чтобы не учитывать теплообмена слоя с внешней средой; энергия записи постоянна в направлении, перпендикулярном плоскости пленки, обладающей ФПМП; коэффициенты, входящие в уравнение, не зависят от температуры.

На последнем предположении следует остановиться подробнее. Теплопроводность  $\text{VO}_2$  в температурном интервале, включающем область ФПМП, от температуры не зависит [1]. Теплоемкость идеального кристалла в области ФПМП имеет пик [1]. В реальном материале, например в пленках  $\text{VO}_2$  и в пленках, представляющих собой систему окислов (ФТИРОС), фазовый переход размыт. Чем более размытым является фазовый переход, тем с большим правом можно описывать процесс линейным дифференциальным уравнением, принимая удельную теплоемкость в области ФПМП равной [2]  $c_1 + \lambda/2\Delta$ , где  $c_1$  — удельная теплоемкость вне области ФПМП,  $\lambda$  — скрытая теплота перехода,  $2\Delta$  — ширина области размытия. Такое описание еще более справедливо, если в контакте с  $\text{VO}_2$  имеется металлический подслой, температуропроводность которого и определяется «растеканием» температурного фронта. Для материалов с резким ФПМП справедливым является рассмотрение, приведенное в работе [3].

Решение уравнения (1) методом интегральных преобразований [4] дало следующее выражение для распределения температуры:

$$\Theta(x, t) = \frac{\psi_0 t_0}{c\rho} \left\{ 1 - \frac{\exp(-4\pi^2 v^2 a t)}{4\pi^2 v^2 a t_0} [\exp(4\pi^2 v^2 a t_0) - 1] \cos 2\pi v x \right\}, \quad (2)$$

откуда температурная ЧКХ имеет вид

$$U_\Theta = [\exp(-4\pi^2 v^2 a t)/4\pi^2 v^2 a t_0] \{ \exp(4\pi^2 v^2 a t_0) - 1 \}, \quad (3)$$

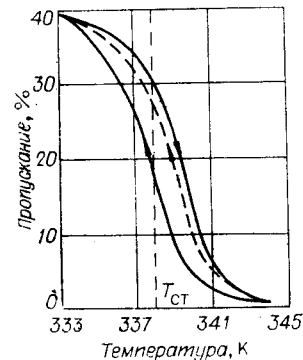
а к моменту окончания импульса ( $t = t_0$ )

$$U_\Theta = [4\pi^2 v^2 a]^{-1/t_0} \{ 1 - \exp[-t_0/(4\pi^2 v^2 a)] \}. \quad (4)$$

Рассмотрим процессы, происходящие в слое  $\text{VO}_2$  после окончания импульса. Так как потребление энергии извне прекратится, то начнется процесс общего остывания слоя до температуры термостабилизации ( $T_{ct}$ ) за счет теплопотери. В это же время будет продолжаться процесс выравнивания температуры в слое за счет теплопроводности. Воспользуемся выражением (3) для ЧКХ к некоторому моменту времени  $t$ . При  $a = 2,2 \cdot 10^{-3} \text{ см}^2/\text{с}$ ,  $v = 10^3 \text{ м}^{-1}$  и  $t_0 = 10^{-8} \text{ с}$  (этот случай реализуется при записи голограмм)  $U_\Theta = \exp(-10^7 t)$ . Отсюда видно, что уже при  $t = 10^{-8} \text{ с}$  произойдет полное растекание температурного релье-

Температурная зависимость [5] пропускания структуры  $\text{VO}_2$  — слюда на длине волны 337 мкм.

Штриховая кривая — частная обратная ветвь.



фа. С другой стороны, при остывании слоя  $\text{VO}_2$  толщиной 0,5 мкм на 5 К должна рассеяться энергия  $\sim 1 \text{ мДж/см}^2$ . За счет конвекции и теплового излучения это рассеяние осуществляется за время  $\sim 1 \text{ с}$ .

Этот результат свидетельствует о том, что при достаточно большой пространственной частоте растекание температурного фронта произойдет задолго до общего остывания слоя до  $T_{\text{ст}}$ . Следовательно, необходимо, чтобы к моменту окончания импульса сформировался такой температурный рельеф, который бы не мог обеспечить в процессе дальнейшего растекания фазовый переход в тех областях, где следует иметь полупроводниковую фазу. Это накладывает ограничение на плотность мощности  $\Phi_0$ , входящую в выражение (2). Причем ее предельное значение зависит от заданной пространственной частоты и необходимой контрастности.

Отсутствие металлической фазы в «холодных» точках означает, что контрастность по коэффициенту пропускания, определяемая отношением максимального пропускания к минимальному, больше 1. Зададимся необходимыми контрастностью  $k$  и пространственной частотой  $v$ . По известным прямой и обратной температурным зависимостям пропускания при заданной температуре термостабилизации можно определить необходимый коэффициент пропускания в «холодной» точке. Это позволяет по частной обратной ветви, проходящей через найденное значение коэффициента пропускания, определить максимальную температуру  $T_{\text{max}}$ , до которой нагреется «холодная» точка в результате полного растекания температурного фронта (при этом  $U_{\text{e}}=0$ ). Тогда по формуле (2)

$$\Theta_{\text{max}} = T_{\text{max}} - T_{\text{ст}} = \Phi_0 t_0 / c p, \quad (5)$$

откуда необходимая объемная плотность энергии

$$\Phi_0 t_0 = c p (T_{\text{max}} - T_{\text{ст}}). \quad (6)$$

Чем выше требуемая контрастность, тем меньше  $T_{\text{max}}$ , а следовательно, и допустимая объемная плотность энергии записи.

Зная, что температура в «горячих» точках к моменту окончания импульса должна быть не ниже температуры металлической фазы ( $T_m$ ), и воспользовавшись выражением (6), можно для температуры в «горячих» точках записать

$$\Theta \approx (\Phi_0 t_0 / c p) (1 + U_0) = (T_{\text{max}} - T_{\text{ст}}) (1 + U_0) \geq T_m - T_{\text{ст}},$$

откуда ЧКХ к моменту окончания импульса

$$U_0 \geq ((T_m - T_{\text{ст}}) / (T_{\text{max}} - T_{\text{ст}})) - 1. \quad (7)$$

Исходя из заданной пространственной частоты и полученной таким образом ЧКХ из соотношения (4) определим необходимую длительность импульса.

Расчет может быть пояснен следующим примером (см. рисунок). При температуре термостабилизации  $T_{\text{ст}}=338 \text{ K}$  наименьший коэффициент пропускания равен 17,5% для точек, нагретых за время импульса до температуры металлической фазы. Зададимся контрастностью по пропусканию  $k=1,5$  и пространственной частотой  $v=3 \text{ мм}^{-1}$  (предельной для выбранной длины волны). Коэффициент пропускания в «холодной» точке, найденный по значениям контрастности и пропускания в «горячей» точке, составляет 26,2%. Частная обратная ветвь, проходящая через это значение пропускания, позволяет определить максимальную температуру «холодной» точки  $T_{\text{max}}=341,3 \text{ K}$ , откуда при использовании эффективного значения теплопроводности двуокиси ванадия  $c=5,8 \text{ Дж/г К}$  находим, что  $\Phi_0 t_0 = 90 \text{ Дж/см}^3$ .  $U_0$ , найденное по формуле (7), не меньше 0,5. Тогда длительность импульса, вычисленная по формуле (4), не превышает  $2 \cdot 10^{-2} \text{ с}$ .

В заключение следует отметить, что полученная температурная ЧКХ может быть полезна для расчета разрешающей способности не только носителей информации на основе материалов с ФПМП, но также и других сред, в которых запись информации осуществляется нагревом.

## ЛИТЕРАТУРА

1. Berglund C. N., Guggenheim H. J. Electronic Properties of  $\text{VO}_2$  near the Semiconductor — Metal Transition.— Phys. Rev., 1969, vol. 185, N 3.
2. Roach W. R. Holographic Storage in  $\text{VO}_2$ .— Appl. Phys. Lett., 1971, vol. 19, N 11.
3. Бугаев А. А., Захарченя Б. П., Чудновский Ф. А. Фазовый переход металл — полупроводник и его применение. Л.: Наука, 1979, с. 135—188.
4. Григорьев Б. А. Импульсный нагрев излучением. М.: Наука, 1974.
5. Биленко Д. И. и др. Регулируемый ослабитель субмиллиметрового излучения на основе пленок  $\text{VO}_2$ .— Радиотехника и электроника, 1979, т. XXIV, № 8.

Поступило в редакцию 21 июля 1980 г.;  
окончательный вариант — 29 января 1981 г.